文章编号: 1000-8152(2008)02-0299-04

基于结构奇异值μ综合的热轧带钢AGC鲁棒控制

杨斌虎, 杨卫东, 陈连贵

(北京科技大学信息工程学院,北京100083)

摘要: 基于鲁棒结构奇异值 μ 理论, 建立了热轧带钢AGC的鲁棒控制模型, 把AGC系统中分散的摄动集中成一个对角阵进行描述, 分析了 μ 综合控制在热轧带钢中的摄动抑制机理, 应用鲁棒稳定与鲁棒性能准则约束条件, 设计了热轧带钢AGC μ 控制器. 仿真结果表明 μ 综合控制能有效地抑制AGC系统中的摄动, 对模型不确定性具有很好的鲁棒性.

关键词: 自动厚度控制: 鲁棒控制: u综合控制: 结构奇异值

中图分类号: TP273 文献标识码: A

Robust μ synthesis control for AGC system in hot rolling processing

YANG Bin-hu, YANG Wei-dong, CHEN Lian-gui

(School of Information Engineering, University of Science and Technology Beijing, Beijing 100083, China)

Abstract: Based on structural singular value μ theory, dispersive perturbation in AGC system is concentrated to a diagonal matrix, the robust control model for AGC system in hot rolling processing is built, and the disturbance attenuation mechanism of μ synthesis is analyzed. The μ synthesis controller for AGC system is designed by adopting robust stabilization and robust performance restriction rule. The simulation results indicated that μ synthesis control is effective on disturbance attenuation under the condition of perturbations.

Key words: automatic gauge control; robust control; μ synthesis control; structural singular value

1 引言(Introduction)

厚度精度是热轧带钢质量控制的主要指标,自 动厚度控制(automatic gauge control, 简称AGC)系统 对带钢全长厚度偏差进行控制、传统AGC的理论 基础是弹跳方程,各种影响厚度控制精度的因素通 过参数补偿的方式,带入到弹跳方程中,然后调节 压下进行控制[1],这种建立在经典控制理论基础上 的AGC并未充分考虑系统结构和参数变化的不确定 性. 事实上, 不确定性存在于整个轧制过程中, 由此 造成厚度控制精度难以得到根本改善. 现代鲁棒 控制理论充分考虑不确定性对系统的影响, 所设计 的控制器能使系统的性能指标在不确定性的情况 下保持不变. 比较成熟的 H_{∞} 鲁棒控制采用适当传 递函数的H∞范数来描述系统, 使系统鲁棒稳定与鲁 棒性能在一定约束条件下同时得到满足, 因此获得 了广泛的应用, 但这种方法适用于摄动比较集中的 系统, 如果被控对象存在多个摄动源时保守性较大. 在实际系统中, 摄动源总是很分散的, 把分散的不

确定性集中成一个对角阵的控制方法称为 μ 综合控制 $^{[2]}$, μ 综合控制可以把稳定鲁棒性与性能鲁棒性有机的结合起来 $^{[3]}$, 因此受到越来越多的关注.本文运用 μ 方法设计了热轧带钢AGC鲁棒控制系统, 使得系统在受到多种不确定扰动的情况下仍能保持良好的鲁棒性, 仿真结果表明, 这种控制是有效的.

2 μ 综合控制机理^[2~5](Mechanism of μ synthesis control)

鲁棒控制中关于不确定性的描述,是相对于标称模型而言的,所谓标称模型就是模型的已知部分.对于摄动比较集中的系统,不确定性可以通过估计其上确界,用 H_{∞} 范数条件约束来实现鲁棒性能的满足. 当摄动比较分散时,实际系统中的结构不确定性用块对角矩阵表示为

$$\Delta = \{\operatorname{diag}\{\delta_1 I_{r_1}, \cdots, \delta_S I_{r_S}, \Delta_1, \cdots, \Delta_F\}\}. (1)$$

式中:
$$\delta_i \in \mathbb{C}$$
, $\Delta_j \in \mathbb{C}^{m_j \times n_j}$, $\sum\limits_{i=1}^S r_i + \sum\limits_{j=1}^F m_j = n$.

对于如图1所示的标准反馈系统, w为评价控制性能与模型摄动的外部输入向量, z为评价控制性能与模型摄动的输出向量, 不确定性用式(1)定义的 Δ 表示, 系统传递函数矩阵 $M \in \mathbb{C}^{m \times n}$ 的结构奇异值 μ 定义为

$$\mu_{\Delta}(M) = (\min\{\sigma_{\max}(\Delta|\det(I - M\Delta) = 0\})^{-1}.$$
(2)

式中: $\mathbb{C}^{m \times n}$ 表示复数域, $\sigma_{\max}(\Delta)$ 表示 Δ 的最大奇异值.

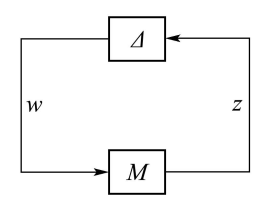


图 1 鲁棒稳定问题

Fig. 1 Robust stabilization

设P为包含标称对象模型和不确定加权函数的系统模型; K为 μ 反馈控制器, 则对应的 μ 综合控制方框图如2所示.

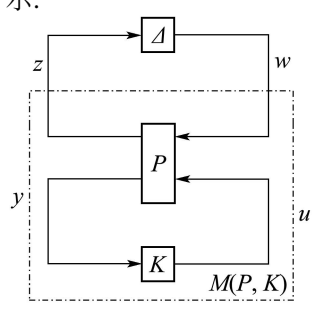


图 2 μ综合控制方框图

Fig. 2 μ synthesis control structure

图中: y是量测输出; u为控制输入. 闭环系统 $M \in \mathbb{C}^{m \times n}$ 的结构和性质由P在K的作用下决定, 其线性分式表达式为

 $M = F_l(P,K) = P_{11} + P_{12}(I - P_{22}K)^{-1}P_{21}$. (3) **引理 1** 对于图1所示系统, 如果 $\|M\|_{\infty}$ 有界, 对满足 $\|\Delta\|_{\infty} < \gamma$ 的所有摄动, 闭环系统鲁棒稳定的充分必要条件是

$$\sup_{\omega} \mu_{\Delta}(M(j\omega)) \leqslant \frac{1}{\gamma}.$$
 (4)

引理 2 当系统含稳定摄动 Δ , 且满足 $\|\Delta\|_{\infty}$ < 1时, 其鲁棒稳定条件等价于使闭环系统 $M \in \mathbb{C}^{n \times n}$ 内部稳定, 并使w到z的标称闭环传递函数矩阵F(G,K)的 H_{∞} 范数满足 $\|F(G,K)\|_{\infty} \le 1$. 而闭环系统 $M \in \mathbb{C}^{m \times n}$ 内部稳定, 且 $\|F(G,K)\|_{\infty} \le 1$, 等价于在其输入输出信号w和z之间接上一个满足不等式 $\|\Delta\|_{\infty} < 1$ 的稳定假象摄动时, 整个闭环系统鲁棒稳定.

根据以上引理,系统鲁棒稳定性的条件是存在控

制器K, 使得 $\sup \mu_{\Delta}(M(j\omega)) < 1$. 系统在模型不确定性的影响下, 能有效抑制干扰w的条件是

$$||T_{ew}||_{\infty} = ||F_U(F_L(P, L), \Delta)|| \le 1,$$
 (5)

$$s.t. \|\Delta_P\| \leqslant 1, \tag{6}$$

$$\sup \mu_{\Delta}(M(P,K)) < 1. \tag{7}$$

$$\sup_{\omega \in \mathbb{R}} \mu_{\Delta}(M(j\omega)) < 1, \tag{8}$$

即

$$\inf \sup \mu_{\Delta}(M(j\omega)). \tag{9}$$

由 于K值 难 以 确 定, $\mu_{\Delta}(M(P,K))$ 近 似 为 $\min(\sigma(DF_L(P,K)D^{-1})$,这样 μ 综合问题就是

$$\inf_{k \in k_l} \sup_{\omega \in \mathbb{R}} \inf_{D \in D} \sigma\{(DF_L(P, K)D^{-1})(j\omega)\}.$$
 (10)

式中 k_l 是能使控制对象P稳定的实有理控制器的集合. μ 控制器的求解可以通过交替运用Riccati方程设计 H_{∞} 控制器K, 然后根据设计的K用 μ 值进行系统鲁棒稳定性和鲁棒性能的寻优, 常用的寻优方法是D-K递推设计法. 这种方法要利用 μ 的上界性质(最大奇异值最小化问题是凸优化问题), 首先在D不变的条件下, 用 H_{∞} 理论最小化K求出K的最优解; 再在K不变的条件下, 求出D的最优估计矩阵, 这样, 反复迭代, 交替优化, 最后得到最优控制器[6] K.

3 热轧带钢AGC系统μ鲁棒控制综合(μ synthesis robust control of AGC system for hot strip milling)

根据以上分析,本文的目的就是要为厚度设定模型设计反馈控制器K,使其在参数不确定性的影响下,仍能保持系统闭环稳定,且对外扰的衰减程度满足 $\|T_{ew}\|_{\infty} < 1$.

传统AGC的系统结构^[7~9]如图3所示,图中: *P*为被控对象(轧机), *K*为控制器, *r*为给定信号. 对*r*的设定,有绝对AGC与相对AGC两种方法. 控制的目的是使得在轧辊压下的作用下, 轧件厚度与给定值一致, 并同时抑制模型摄动及各种噪声干扰.

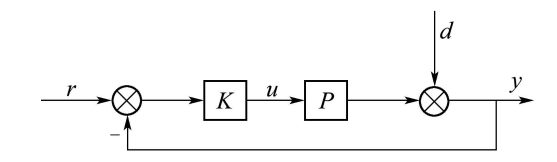


图 3 AGC系统结构图

Fig. 3 Structure of AGC system

造成热轧带钢厚度偏差的主要原因[1,2]可以从轧 件与轧机两方面得到解释,从轧件方面主要是温度 波动造成的来料温度不匀、水印、来料厚度不匀等, 温度波动通过"硬度"即变形抗力值的形式对轧辊 轧制力产生影响,并最终影响到出口厚度值上,从轧 机方面主要原因是轧件参数波动,如支撑辊偏心、轧 辊热膨胀、轧辊磨损等. 考虑以上这些因素, 传统的 基于弹跳方程的AGC出口厚度计算公式为

$$h = S_0 + \frac{P - P_0}{C_P} + \frac{F}{C_F} + O + G.$$
 (11)

式中: h为轧件厚度, S_0 为空载辊缝, P为轧制力, P_0 为预压靠力, C_F 为辊系对弯辊力的刚度, F为弯辊 力,O为油膜轴承的油膜厚度,G为辊缝零位, C_P 为 轧机机座刚性系数.

由于摄动的广泛分布与系统未建模特性的影响, 由上式反映的厚度控制模型鲁棒性较差,利用μ控制 机理,把广泛分布的摄动集中成一个对角阵进行描 述,对应的控制结构图如图4所示.图中, W1为输入 加权函数,用来滤除控制输入中的高频信号, W2为 摄动加权函数.

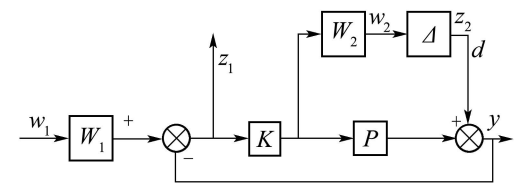


图 4 AGC μ综合控制图

Fig. 4 μ synthesis control of AGC

设系统状态空间模型为

$$\begin{cases} \dot{x}(t) = Ax(t) + Bu(t), \\ z(t) = Cx(t). \end{cases}$$
 (12)

式中:

$$A = \begin{bmatrix} \frac{1}{T_{V}} & 0 & 0 & 0 & 0 & 0 \\ 0 & \frac{-1}{T_{ASR}} & 0 & 0 & 0 & 0 \\ -\frac{K_{\sigma}V_{R}}{T_{\sigma}}(\frac{\partial f}{\partial S}) & -\frac{K_{\sigma}(1+f^{*})}{T_{\sigma}} & -\frac{1}{T_{\sigma}} & 0 & \frac{K_{\sigma}L_{\theta}}{gT_{\sigma}} & 0 \\ 0 & 0 & 0 & 0 & \frac{1}{g} & 0 \\ 0 & 0 & -\frac{A_{\theta}L_{\theta}}{J} & 0 -\frac{\phi K_{1}T_{1}}{J} & \frac{\phi}{J} \\ 0 & 0 & 0 & 0 & -K_{1} & 0 \end{bmatrix},$$

$$B = \begin{bmatrix} -\frac{1}{T_V} & 0 & 0 & 0 & 0 & 0 \\ 0 & \frac{1}{T_{ASR}} & 0 & 0 & 0 & 0 \\ 0 & 0 & 0 & 0 & \frac{\phi K_1 T_1}{J} K_1 \end{bmatrix}, \tag{14}$$

核域虎等: 基于结构奇异值
$$\mu$$
综合的热轧带钢 AGC 鲁棒控制 301的主要原因 $^{[1,2]}$ 可以从轧 $C=\left[\frac{C_P}{C_P+Q} \ 0 \ \frac{1}{C_P+Q}(\frac{\partial P}{\partial \sigma})^* \ 0 \ 0 \ 0\right].$ (15)

式中: $x(t) = [\Delta S, \Delta V_R, \Delta \sigma, \Delta \theta, \Delta \omega, \Delta I], u(t) =$ $[\Delta S_r, \Delta V_R r, \Delta \omega_r]^{\mathrm{T}}, y(t) = [\Delta h]^{\mathrm{T}}, \Delta S_r, \Delta V_r, \Delta \omega_r$ 分别为轧机辊缝、轧辊圆周速度和活套电机转速的 设定值变化量,它们作为系统输入向量,输出为带 钢出口厚度.对应的状态向量为: ΔS 为辊缝的变 化量, ΔV_B 为轧辊的圆周速度, $\Delta \sigma$ 是机架间的张应 力, $\Delta\theta$ 为活套角的变化量, $\Delta\omega$ 为活套电机的角速 度, Q为轧件塑性刚度, 矩阵内参数意义详见参考文 献[9].

对应的系统传递函数阵为

$$P(S) = C(SI - A)^{-1}B.$$
 (16)

系统的鲁棒输入输出关系为

$$\begin{bmatrix} z \\ y \end{bmatrix} = G(s) \begin{bmatrix} w \\ u \end{bmatrix}.$$
 (17)

中方

$$G(s) = \begin{bmatrix} W_1(s) & 1 & -P(s) \\ 0 & -W_2(s) W_2(s) P(s) \\ W_1(s) & 1 & -P(s) \end{bmatrix}. \quad (18)$$

这里:
$$w = \begin{bmatrix} w_1 \\ w_2 \end{bmatrix}$$
, $z = \begin{bmatrix} z_1 \\ z_2 \end{bmatrix}$.

对G(s)分块,则输入输出关系为

$$\begin{bmatrix} z \\ y \end{bmatrix} = \begin{bmatrix} G_{11} & G_{12} \\ G_{21} & G_{22} \end{bmatrix} \begin{bmatrix} w \\ u \end{bmatrix},$$
 (19)

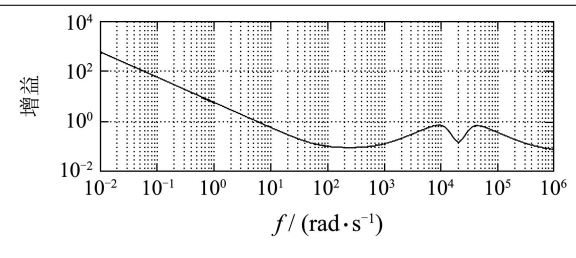
则z到w的闭环传递函数为

$$H_z w(s) = G_{11}(s) + G_{12}(s)K(s)[I + G_{22}(s)K(s)]^{-1}G_{21}(s).$$
 (20)

由 $||H_{zw}||_{\infty} < 1$ 交替迭代D-K, 求得对应K值.

4 μ控制系统仿真(Simulation of μ control system)

以某钢厂七机架精轧机组F4机架为例, 考查 系统的摄动抑制能力, 具体轧制规程为: B = $1200 \,\mathrm{mm}, \ Q = 235, \ R = 380 \,\mathrm{mm}, \ H_0 = 32 \,\mathrm{mm},$ $h_7 = 2.0 \,\mathrm{mm}, \, FT_0 = 1020 \,\mathrm{^{\circ}\!C}, \, FC = 870 \,\mathrm{^{\circ}\!C}$. 运用 MATLAB中的Simulink和Robust Control Toolbox, 建 立数字仿真系统进行仿真,加权函数选择为: $W_1 =$ $\frac{1}{s+10}$, $W_2 = \frac{0.5(s+10)}{s+200}$, 采用D-K迭代法, 经过 二次迭代后的 $f_i(P,K)$ 的最大奇异值 σ_{\max} 和 μ 控制 器Bode图如图5所示, 此时 $\mu = 0.95$. 将所得的控制 器带入系统中,则系统在随机噪声信号下的响应曲 线如图6所示. 从图中可知系统在不确定性影响的情 况下, μ综合控制能使系统在保持鲁棒稳定性的情况 下取得有很好的性能鲁棒性.



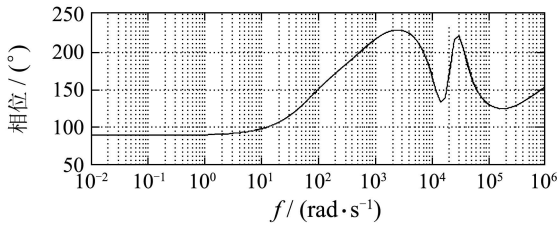
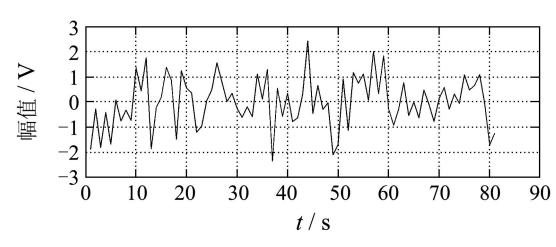
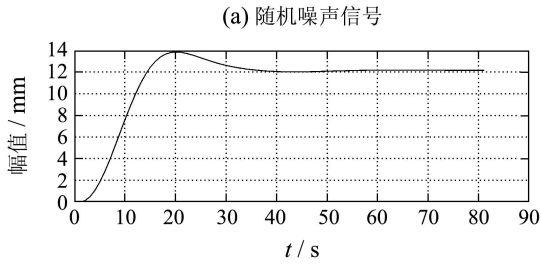


图 5 μ控制器Bode图

5 Bode graph of μ synthesis control





(b) F4 机架AGC系统响应

图 6 系统扰动及响应

Fig. 6 Response of system to perturbations

5 结论(conclusion)

热连轧是个典型的多变量复杂系统,不确定性分布于整个轧制过程中,基于μ综合理论的AGC控制器既保证了系统的鲁棒稳定性,又保证了系统的鲁棒性能,对系统内部多方面的摄动能够得到有效的抑制,仿真结果表明这种控制方法对模型参数不确定性,具有很好的稳定鲁棒性和性能稳定性.

需要指出的是,由于实际轧制过程的复杂性,要保证AGC系统的最优鲁棒性能,还需考虑多变量的约束条件.

参考文献(References):

2003.)

- [1] 孙一康. 带钢热连轧的模型与控制[M]. 北京: 冶金工业出版社, 2002.
 - (SUN Yikang. *Model and Control of Hot Strip Milling*[M]. Beijing: Metallurgy Industry Press, 2002.)
- [2] DOYLE J C. A review of μ for case studies in robust control[C]//Proceedings of the IFAC 10th Triennial World Congress. Munich, FRG: Pergamon Press, 1988, 8: 365 370.
- [3] 梅生伟, 申铁龙, 刘康志. 现代鲁棒控制理论与应用[M]. 北京: 清华大学出版社, 2003. (MEI Shengwei, SHEN Tielong, LIU Kangzhi. *Modern Robust Control Theory and Application*[M]. BeiJing: Tsinghua University Press,
- [4] Lin J L. μ -K iteration: A new algorithm for μ -synthesis[J]. *Automatica*, 1993, 29(1): 219 224.
- [5] BALAS G J, DOYLE J C, GLOVER K. μ-Analysis and Synthesis Toolbox[M]. Natick, Ma: The Math Works Inc, 1994.
- [6] 李连锋, 王广雄, 姚远. 全局最优鲁棒控制器设计[J]. 控制理论与应用, 2001, 18(2): 266 269. (LI Lianfeng, WANG Guangxiong, YAO Yuan. Global optimal robust controller design[J]. Control Theory & Applications, 2001, 18(2): 266 – 269.)
- [7] OKADA M, MURAYAMA K, URANO A, et ai. Optimal control system for hot strip finishing mill[J]. *Control Engineering Ptotice*, 1998, 6(8): 1029 – 1034.
- [8] HEARNS G, GRIMBLE M J. Robust multivariable control for hot strip mills[J]. *Isij International*, 2000, 40 (10): 995 – 1002.
- [9] ASANO K, YAMAMOTO Kazuhiro, KAWASE T, et al. Hot strip mill tension-looper control bades on decentralization and conordination[J]. Control Engineering Practice, 2000, 8(3): 337 – 344.
- [10] 何虎, 孙一康. 热连轧活套系统分析与控制方式比较[J]. 北京科技大学学报, 2000, 22(5): 482 485.
 (HE Hu, SUN Yikang. System analysis and control method Compare of looper for hot strip milling[J]. Journal of University of Science and Technology Beijing, 2000, 22(5): 482 485.)

作者简介:

杨斌虎 (1971—), 男, 北京科技大学博士生, 研究领域为自适应控制、鲁棒控制, E-mail: yangbinhu@sina.com;

杨卫东 (1952—), 男, 北京科技大学教授, 博士生导师, 研究领域为轧制控制, E-mail: ywd1952@263.net;

陈连贵 (1970—), 男, 北京科技大学博士生, 研究领域为非线性控制, E-mail: clgui007@sina.com.